

# 双基地两坐标雷达空间目标定位算法\*

刘琪 孙仲康

(国防科技大学电子工程学院 长沙 410073)

**摘要** 本文提出了双基地雷达单独使用发射/接收站(T/R站)的目标斜距和方位角信息或接收站(R站)的目标距离和方位角信息分别对空中目标的二维定位算法,并给出了定位精度的分析方法。最后,通过计算机仿真讨论了算法的定位性能。

**关键词** 双基地雷达, 定位算法, 精度分析

**分类号** TN953.7

## Algorithms of Target Position Location with Two Coordinate Measurements in Bistatic Radar

Liu Qi Sun Zhongkang

(Institute of Electronic Engineering, NUDT, Changsha, 410073)

**Abstract** The algorithm of position location with two coordinate measurements in bistatic radar is presented in this paper, which uses the measurements of slant range and the azimuth referred to T/R station or the ones of range sum (target to T/R and R) and the azimuth to R station. The analysis method of the position location accuracy is given. Finally, the performances of these algorithms are evaluated by computer simulations.

**Key words** Bistatic Radar, Position Location Algorithm, Accuracy Analysis

双基地雷达由发射/接收(T/R)站和被动接收(R)站组成。由于双基地雷达具有反电子对抗的重要特性,它已引起雷达界广泛的关注,其中这种系统对目标的定位性能是雷达界研究的重点之一。在电子对抗的环境下,强烈的电磁干扰使得T/R站和R站的数据不能同时获取,如何利用单站数据对目标进行定位就显得十分重要。本文提出了利用T/R站获得的目标斜距和方位角信息或R站获得的目标分别到T/R站和R站的距离和及方位角信息的定位算法,并对两种定位算法分别进行了误差分析,通过分析计算机仿真的等精度曲线在双基地雷达附近区域的分布,得到了一些有用的结论。

## 1 只用T/R站数据的定位分析

### 1.1 二维定位的基本概念

两坐标雷达只能获取两个观测量的数据,在通常意义下是无法对三维空间目标进行定位的。用目标方位角和斜距(或距离和)两个观测量只能得到一条定位线<sup>[1]</sup>,在设定高度条件下才能推算目标的水平位置。在没有任何高度信息的条件下,可将目标投影到水平面上,即假定目标高度为零。在目标高度未知时,对高度的这种处理给二维定位带来了新的误差,目标飞行高度较高和距离T/R站较近时此误差较大,特别对于近距离目标,引入的误差成为影响定位精度的主要因素。如果知道目标飞行的大致高度,那么对目标高度作一合理假设,将有助于提高定位精度。

### 1.2 二维定位算法及其误差分析

设已知T/R站的目标斜距 $r_T$ 和方位角 $\beta_T$ 信息,目标真实高度为 $h$ ,假设目标高度为 $z$ ,如图1所

\* 1997年12月17日修订

第一作者:刘琪,男,1969年生,博士生

示。

### 1. 2. 1 定位方程

$$\begin{cases} x = rz \sin \beta_r \\ y = rz \cos \beta_r \end{cases} \quad (1)$$

其中, 水平距离  $rz = \frac{r_r^2 - z^2}{2}$ 。 (2)

定位误差由两部分组成: 测量误差带来的随机误差和高度假设不准引入的水平距离误差。下面分别加以分析。

### 1. 2. 2 定位误差分析

#### 1) 随机误差

由于测量数据是有误差的, 即:

$$\begin{cases} r_r^m = r_r + dr_r \\ \beta_r^m = \beta_r + d\beta_r \end{cases} \quad (3)$$

(上标  $m$  表示带有噪声的实测值)

其中  $dr_r$ ,  $d\beta_r$  分别表示发射站斜距和方位角的观测误差。在实际应用时, 由于不可能获得真实数据  $r_r$  和  $\beta_r$ , 因此通常利用实测数据  $r_r^m$  和  $\beta_r^m$ , 代替其真实数据  $r_r$  和  $\beta_r$ , 从而得到有误差的目标位置的近似值。假设各测量误差是零均值, 彼此不相关的高斯白噪声, 且对应于方位角和斜距误差的标准差分别为  $\sigma_{\beta_r}$  和  $\sigma_{r_r}$ , 对 (1) 式求微分, 得到定位误差方程:

$$\begin{bmatrix} dx \\ dy \end{bmatrix} = \begin{bmatrix} \frac{r_r}{r_r^2 - z^2} \sin \beta_r & y \\ \frac{r_r}{r_r^2 - z^2} \cos \beta_r & -x \end{bmatrix} \begin{bmatrix} dr_r \\ d\beta_r \end{bmatrix} \quad (4)$$

简记为:  $dX = CdV$ 。 (5)

(4) 式表明, 目标位置在直角坐标系中的误差 ( $dx$ ,  $dy$ ) 与测量误差 ( $d\beta_r$ ,  $dr_r$ ) 成线性关系, 而且高斯分布仍然有效, 因此 ( $dx$ ,  $dy$ ) 是零均值高斯分布的随机变量。定位误差协方差矩阵为

$$P_{dx} = E[dX dX^T] = CE[dV dV^T]C^T \quad (6)$$

定义

$$P_{dx} = \begin{bmatrix} \sigma_x^2 & \sigma_{xy} \\ \sigma_{xy} & \sigma_y^2 \end{bmatrix} \quad (7)$$

双基地系统对目标定位精度可用目标空间位置的均方根误差 RMS (Root Mean Square) 来表示 (文 [2]), 在二维情况下可以用水平方向上定位误差的方差和的开方来表示。由于这个技术参数与目标及各站之间的相对几何位置有关, 因此称之为 GDOP (Geometrical Dilution Of Precision, 即定位精度的几何稀释)<sup>[3]</sup>, 它的意思就是定位误差的几何分布。

$$\text{定义 } GDOP = \sqrt{\text{tr}[P_{dx}]} = \sqrt{\sigma_x^2 + \sigma_y^2} \quad (8)$$

不难求得:

$$GDOP = \sqrt{\frac{r_r^2}{r_r^2 - z^2} \sigma_{r_r}^2 + (r_r^2 - z^2) \sigma_{\beta_r}^2} \quad (9)$$

#### 2) 水平距离误差

$$\Delta x = \left( \frac{r_r^2}{r_r^2 - z^2} - \frac{r_r^2}{r_r^2 - h^2} \right) \sin \beta_r \quad (10)$$

$$\Delta y = \left( \frac{r_r^2}{r_r^2 - z^2} - \frac{r_r^2}{r_r^2 - h^2} \right) \cos \beta_r \quad (11)$$

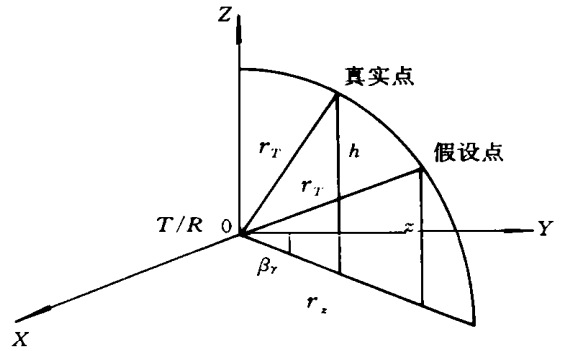


图 1 目标位置示意图

由以上公式可以得出如下结论: 如果准确估计目标高度, 即  $z = h$  时, 水平距离误差为零, 定位精度最高。反之, 目标假设高度与真实高度相差越大, 误差越大。

## 2 只用 R 站数据的定位分析

R 站的观测数据为目标到双站的距离和  $r_\Sigma$  以及方位角  $\beta_R$ , 距离和确定的空间位置面为以双站为焦点的回转椭球面, 设目标真实高度为  $h$ , 假设目标高度为  $z$ , 如图 2 所示。

### 2.1 定位方程

$$\begin{cases} r_\Sigma = \sqrt{x^2 + y^2 + h^2} + \sqrt{x^2 + (y - y_T)^2 + h^2} \\ \beta_R = \arctg \frac{x}{y} \end{cases} \quad (12)$$

由 (12) 式可求得:

$$\begin{cases} x = r_z \sin \beta_R \\ y = r_z \cos \beta_R \end{cases} \quad (13)$$

其中, 收站到目标在  $X - Y$  平面上的投影点间的距离

$$r_z = \sqrt{r_{RZ}^2 - z^2} \quad (14)$$

根据

$$r_\Sigma = r_{RZ} + \sqrt{x^2 + (y - y_T)^2 + z^2} \text{ 和 } x = y \tan \beta_R$$

可求得:

$$\left[ \left( \frac{r_\Sigma \sec \beta_R}{y_T} \right)^2 - 1 \right] r_{RZ}^2 + \frac{(y_T^2 - r_\Sigma^2) r_\Sigma \sec^2 \beta_R}{y_T^2} r_{RZ} + Z^2 + \frac{(y_T^2 - r_\Sigma^2) r_\Sigma \sec^2 \beta_R}{4y_T^2} = 0 \quad (15)$$

可见, 解出的定位点可能有两个, 说明有可能出现定位模糊。

### 2.2 定位模糊的消除

从几何意义上说, 当目标位于基线附近区域, 且  $z > z_0 = \frac{r_\Sigma^2 - L^2}{2r_\Sigma}$  时 (取等号时,  $z = z_0$  的平面切过以  $r_\Sigma$  为距离和, 两站为焦点确定的回旋椭球得到的椭圆在水平面的投影, 恰好经过两站。L 为基线

长度), 就会出现定位模糊。从另一个角度说, 假定目标最大飞行高度为  $z_0$  公里, 在以  $r_\Sigma = \sqrt{z_0^2 + L^2} + z_0$  为距离和, 两站为焦点确定的椭球内有可能出现定位模糊。根据目标运动区域的不同, 分以下三种情况分别讨论定位模糊的消除:

1) 目标在距离和  $r_\Sigma$  确定的椭球外飞行; 没有定位模糊。

2) 目标由距离和  $r_\Sigma$  确定的椭球外飞入; 设  $(x_n, y_n)$  是能判别的最新的目标定位点,  $(x_1, y_1)$  和  $(x_2, y_2)$  是下一次求得两个模糊定位点, 假设目标作匀速或加速度很小的运动, 有如下判据:

若  $\sqrt{(x_1 - x_n)^2 + (y_1 - y_n)^2} < \sqrt{(x_2 - x_n)^2 + (y_2 - y_n)^2}$

则  $(x_1, y_1)$  是目标的正确定位点, 反之,  $(x_2, y_2)$  是目标的正确定位点。

3) 目标在距离和  $r_\Sigma$  确定的椭球内飞行; 在这种情况下, 可通过增加观测量的方法消除定位模糊, 比如利用其它站俯仰角的观测数据。

### 2.3 定位误差分析:

1) 随机误差

对 (12) 式求微分, 得到定位误差方程:

$$\begin{bmatrix} dr_\Sigma \\ d\beta_R \end{bmatrix}$$

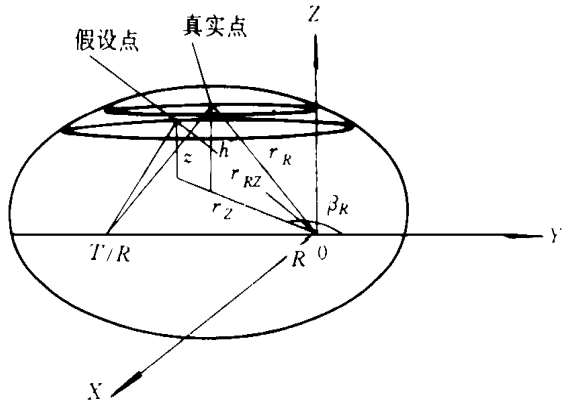


图 2 目标位置示意图

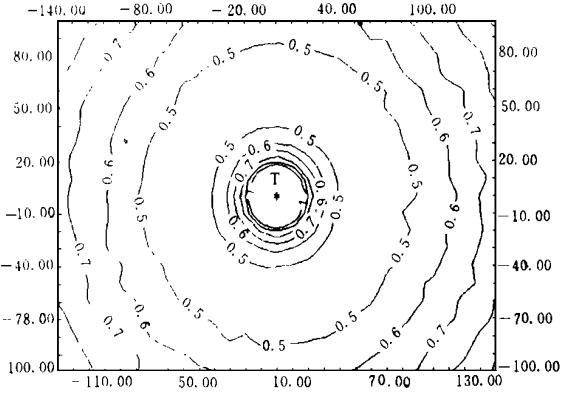


图 3

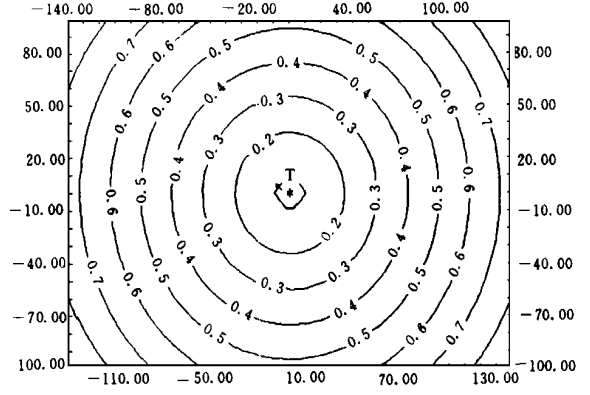


图 4

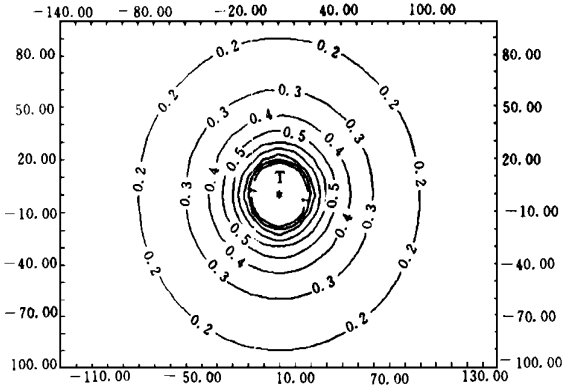


图 5

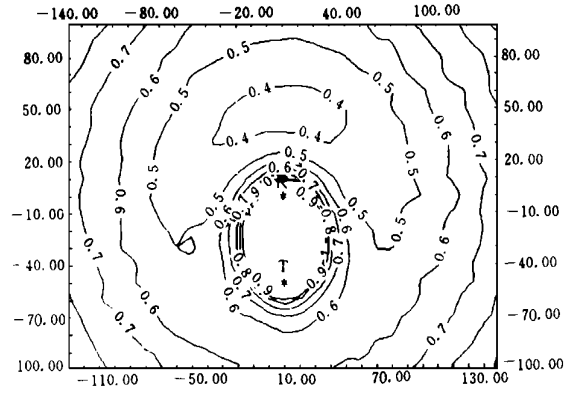


图 6

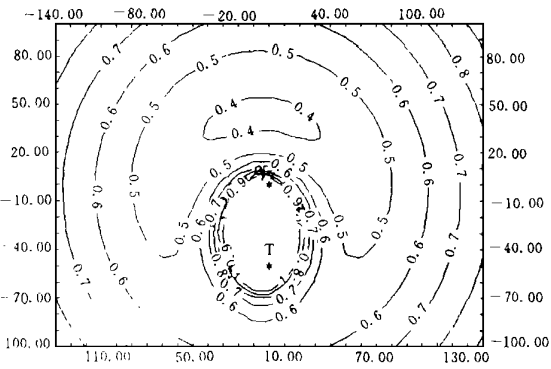


图 7

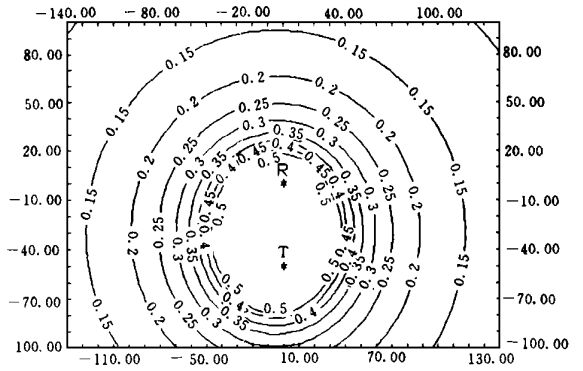


图 8

$$= \begin{bmatrix} \frac{x}{x^2 + y^2 + h^2} + \frac{x}{x^2 + (y - y_T)^2 + h^2} & \frac{y}{x^2 + y^2 + h^2} + \frac{y - y_T}{x^2 + (y - y_T)^2 + h^2} \\ \frac{y}{x^2 + y^2} & \frac{-x}{x^2 + y^2} \end{bmatrix} \begin{bmatrix} dx \\ dy \end{bmatrix} \quad (16)$$

$$\text{简记为: } dV = CdX \quad (17)$$

$$P_{dx} = E[dXdX^T] = C^{-1}E[dVdV^T]C^{-T} \quad (18)$$

## 2) 距离偏差

$$\Delta x = \left( \overline{r_{RZ}^2 - z^2} - \overline{r_R^2 - h^2} \right) \sin \beta_R \quad (19)$$

$$\Delta y = \left( \overline{r_{RZ}^2 - z^2} - \overline{r_R^2 - h^2} \right) \cos \beta_R \quad (20)$$

# 3 计算机仿真及结果分析

## 3.1 仿真试验条件

站址: T/R 站 (0, -50, 0) km, R 站 (0, 0, 0) km; 测量误差:  $\sigma_{rT} = \sigma_{r\Sigma} = 0.1$  km,  $\sigma_{\beta T} = \sigma_{\beta R} = 0.3$  度; 目标真实高度 10km, 假设高度 8km。

图 3 到图 6 是用 T/R 站的方位角和斜距的得到的定位误差等值线图, 其中图 3 表示利用 T/R 站观测数据求得的目标定位点的 500 次 Monte Carlo 试验的均方根误差, 图 4 表示 GDOP, 图 5 表示距离偏差  $\overline{\Delta^2 x + \Delta^2 y}$ 。

图 6 到图 8 是用 R 站的方位角和距离和的得到的定位误差等值线图, 其中图 6 表示利用 R 站观测数据求得的目标定位点的 500 次 Monte Carlo 试验的均方根误差, 图 7 表示 GDOP, 图 8 表示距离偏差  $\overline{\Delta^2 x + \Delta^2 y}$ 。图中标数据的单位均为 km。

## 3.2 仿真结果分析

1) GDOP 图和水平距离误差图表明了算法的理论精度分布, 比较图 3、4、5 和图 6、7、8 可见, 两种算法的定位精度和理论分析相当。

2) 由图 3、5 和图 6、8 可见, 当目标接近基线附近区域时, 定位误差增大。这是由于高度假设带来的误差增大的缘故。

3) 由图 3、4 和图 6、7 可见, 当目标离雷达站的距离增大时, 由于高度假设带来的误差减小, 测角误差成为影响定位精度的主要因素并使定位误差增大。

4) 由图 6、7 和 8 可见, 利用 R 站数据定位的误差分布图表现出双基地特性, 即由于收发分置导致精度曲线以基线为中心拓展。

仿真结果和理论计算得出的结论是一致的。

## 参考文献

- 1 孙仲康, 陈辉煌. 定位导航与制导. 北京: 国防工业出版社, 1988
- 2 Donj Torrieri. Statistical theory of passive location systems. IEEE Trans., Vol. AES-20. No. 2, March 1984
- 3 孙仲康, 周一宇, 何黎星. 单多基地有源无源定位技术. 北京: 国防工业出版社, 1996